

# Radiometrie, radiační metody

© 1996-2018 Josef Pelikán  
CGG MFF UK Praha

[pepca@cgg.mff.cuni.cz](mailto:pepca@cgg.mff.cuni.cz)

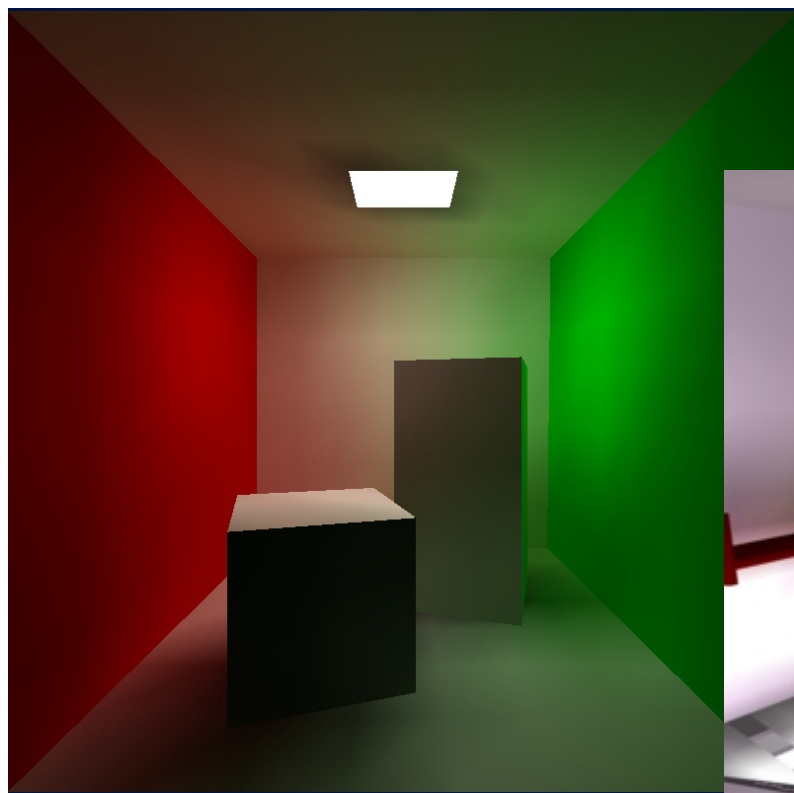
<http://cgg.mff.cuni.cz/~pepca/>



# Globální výpočet osvětlení

- ◆ založen na **fyzikálním principu**
  - propagace energie (světla) v difusním prostředí
  - použití v syntéze obrazu: Cindy Goral (SIGGRAPH 1984)
- ➔ dokáže dobře spočítat **měkké osvětlení**, sekundární odrazy světla, ..
- ➔ základní metoda nezvládá **ostré světlo**, zrcadlové odrazy, ..
- ◆ **časově náročnější** než rekurzivní sledování paprsku
  - RT: zobrazení (rendering), Rad: jen výpočet osvětlení

# Radiační metoda – příklady



© David Bařina (WiKi)

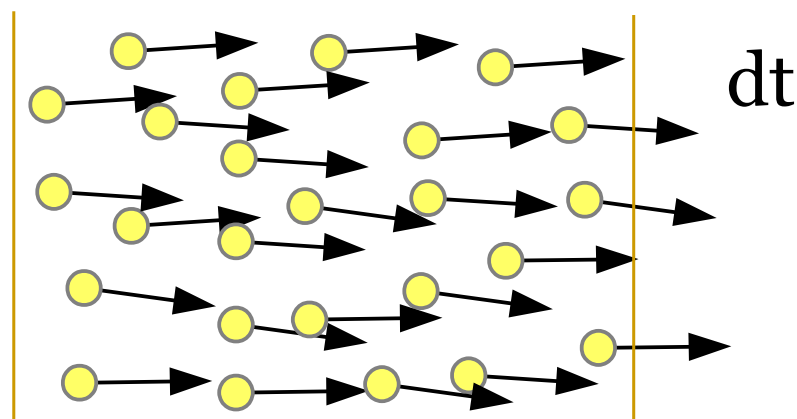
# Základy radiometrie I



**Zářivý tok, výkon (*Radiant flux, Radiant power*)**

$$\Phi = \frac{dQ}{dt} \quad [W]$$

Počet fotonů (přepočtených na energii) za jednotku času  
(100W žárovka: cca  $10^{19}$  fotonů/s, oko z monitoru:  $10^{12}$  f/s).



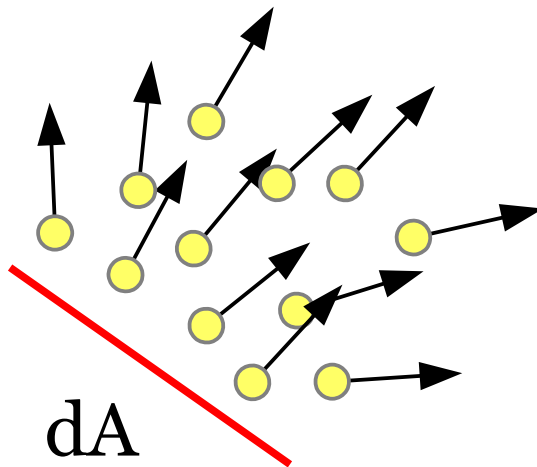
# Základy radiometrie II



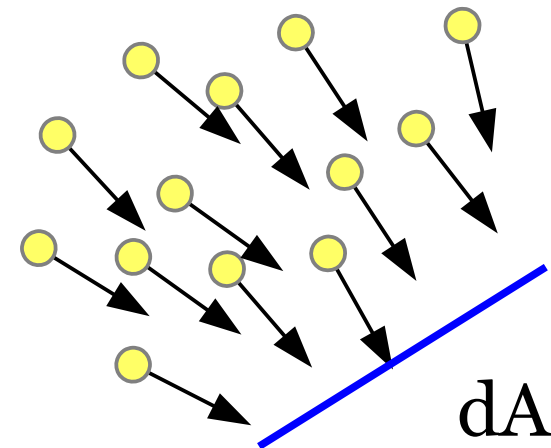
**Hustota zářivého toku (*Irradiance, Radiant exitance, Radiosity*)**

$$E(x) = \frac{d\Phi(x)}{dA(x)} \quad [ \text{W/m}^2 ]$$

Plošná hustota fotonů (přepočtených na energii) dopadajících nebo vyzařovaných za jednotku času.



dt



# Základy radiometrie III



## Zář (*Radiance*)

$$L(x, \omega) = \frac{d^2 \Phi(x, \omega)}{d A_{\omega}^{\perp}(x) d \sigma(\omega)} \quad [ \text{W/m}^2/\text{sr} ]$$

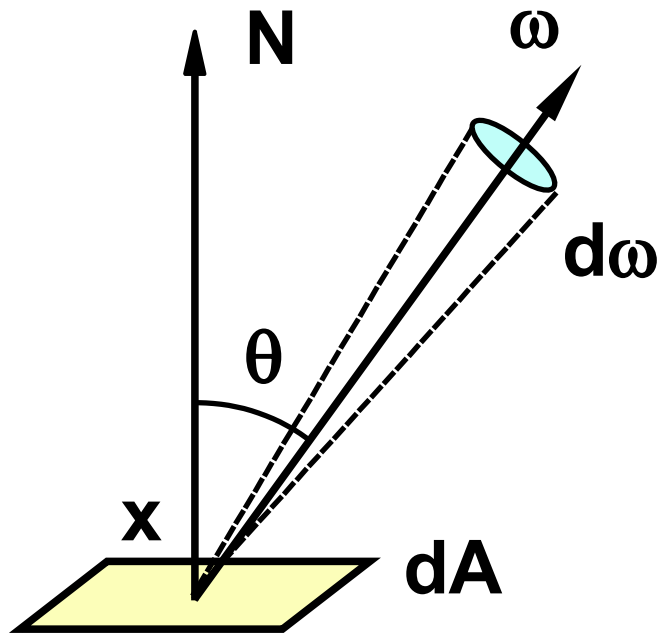
Počet fotonů (přepočtených na energii) procházejících za jednotku času malou ploškou kolmou na směr  $\omega$ . Záření míří do malého kužele kolem daného směru  $\omega$ .

Zář je veličina definovaná jako **hustota** vzhledem k  $d\mathbf{A}^{\perp}$  a současně vzhledem k prostorovému úhlu  $d\sigma(\omega)$ .



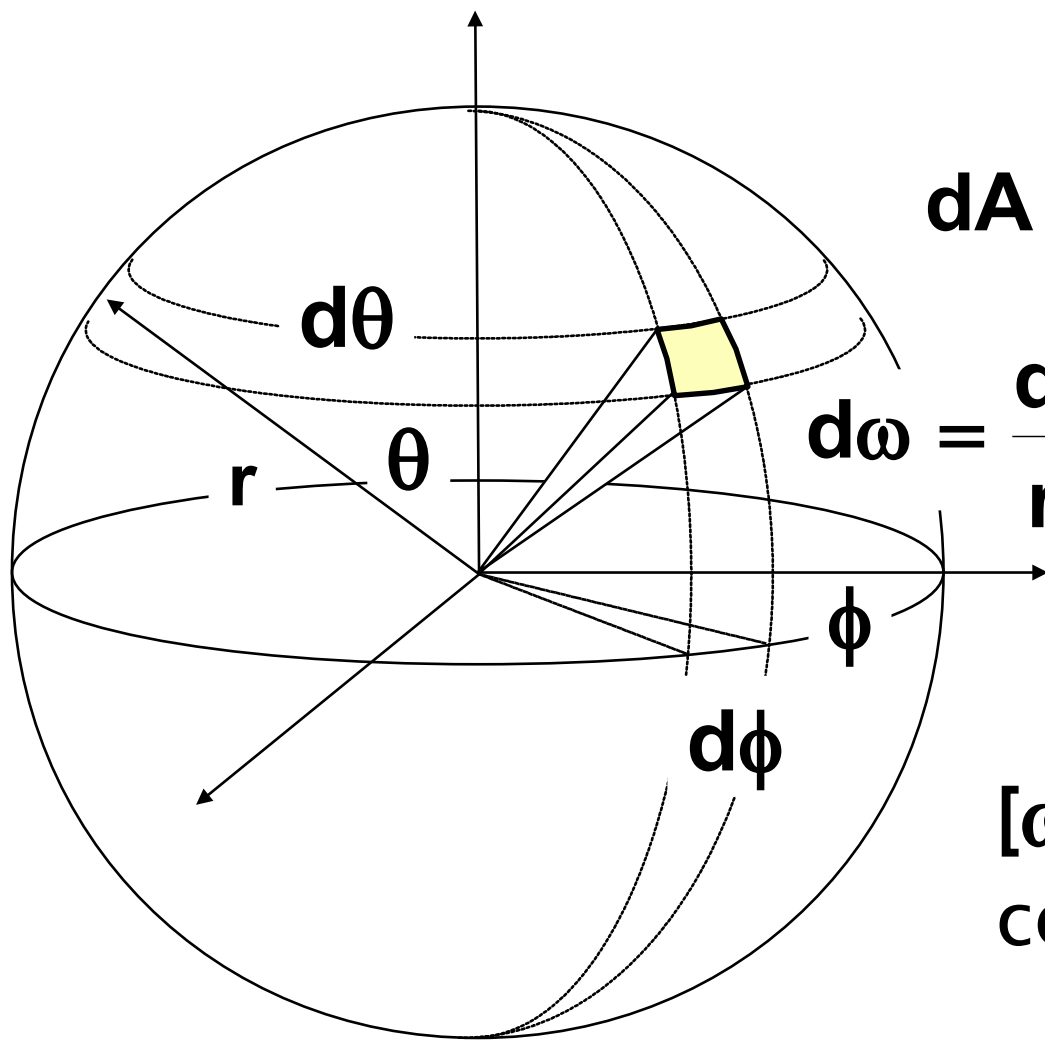
# Radiance I

- přijímaná (emitovaná) **radiance** ve směru  $\omega$ :
  - $L_{in}(\omega)$  ( $L_e(\omega)$ ,  $L_{out}(\omega)$ ) [ W/(m<sup>2</sup> · sr) ]



$$\begin{aligned} L_{out}(\mathbf{x}, \omega) &= \frac{d^2\Phi}{dA d\omega \cos\theta} \\ &= \frac{dB_{out}}{d\omega \cos\theta} \\ &= \frac{dl}{dA \cos\theta} \end{aligned}$$

# Prostorové úhly



$$dA = r^2 \sin\theta \, d\theta \, d\phi$$

$$d\omega = \frac{dA}{r^2} = \sin\theta \, d\theta \, d\phi$$

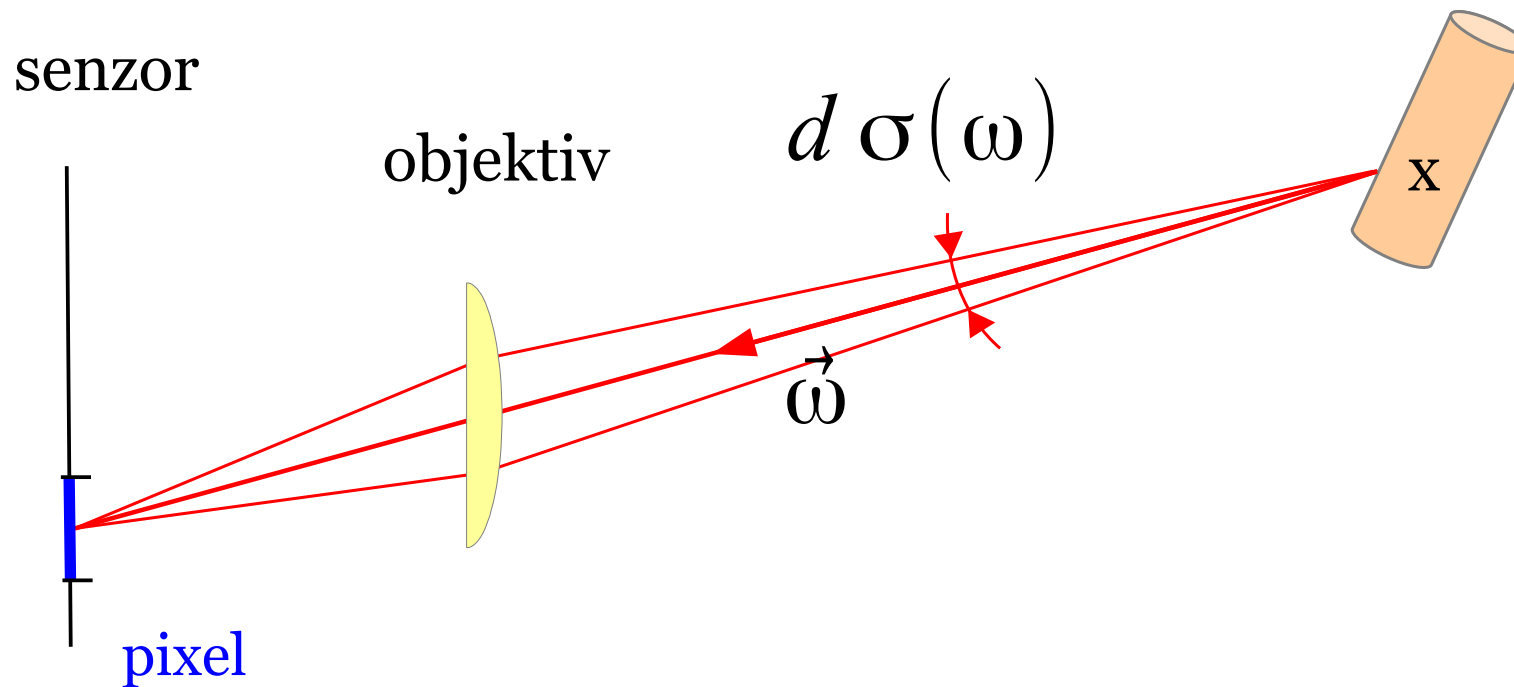
$[\omega]$  .. steradián (sr)  
celá sféra má  $4\pi$  sr



# Radiance II



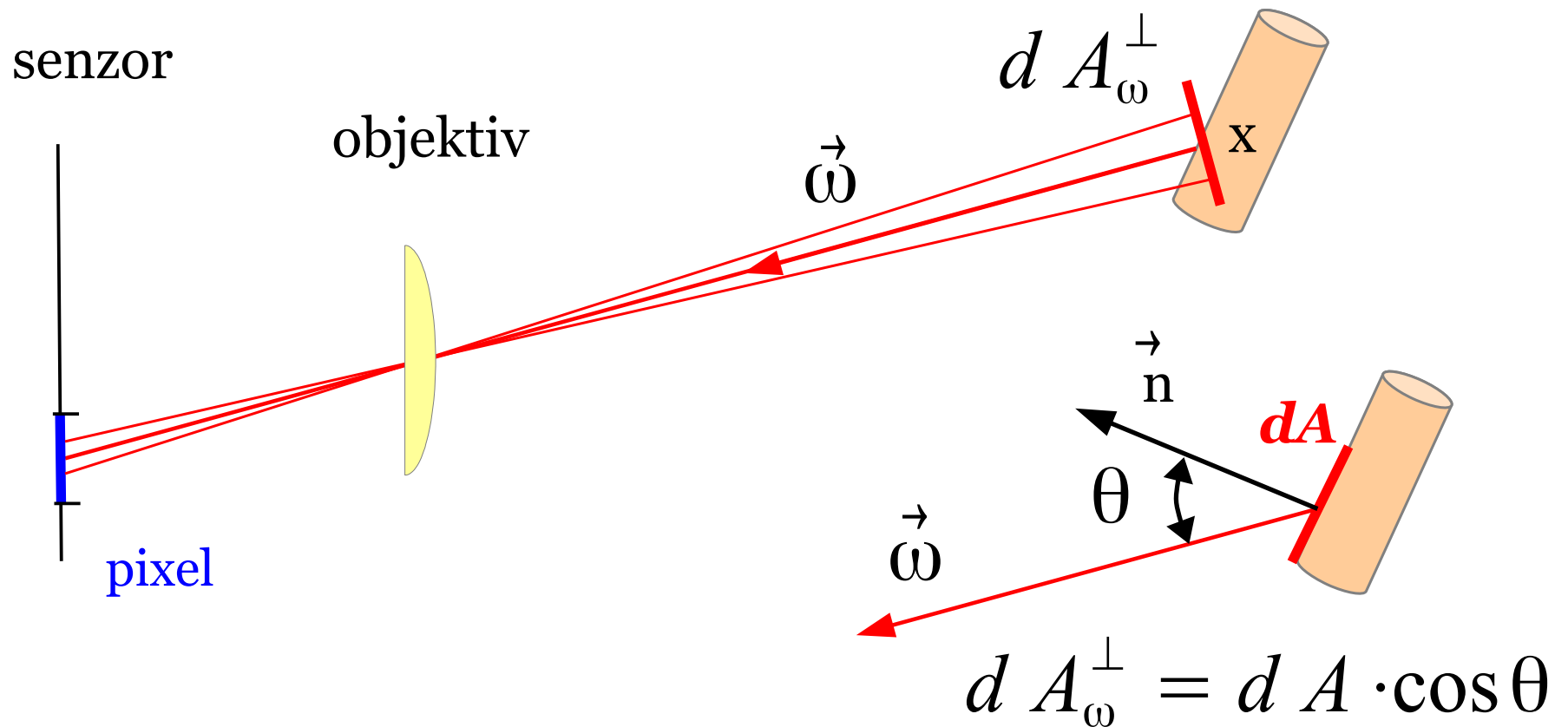
$$\Phi(x, \omega) \propto d\sigma(\omega)$$



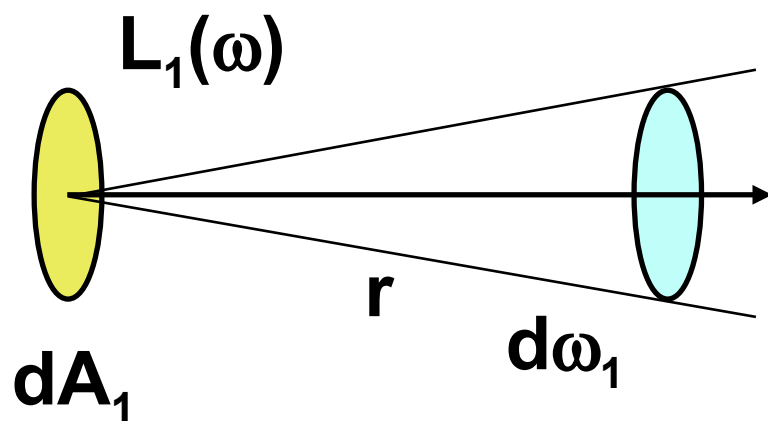
# Radiance III



$$\Phi(x, \omega) \propto dA_{\omega}^{\perp}(x)$$



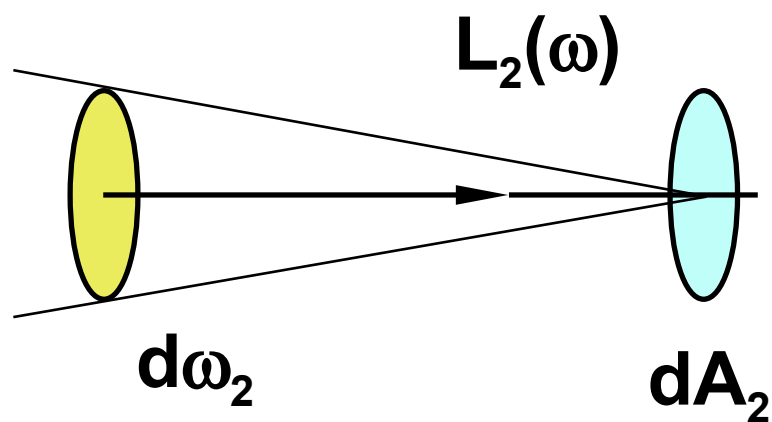
# Zákon zachování energie v paprsku



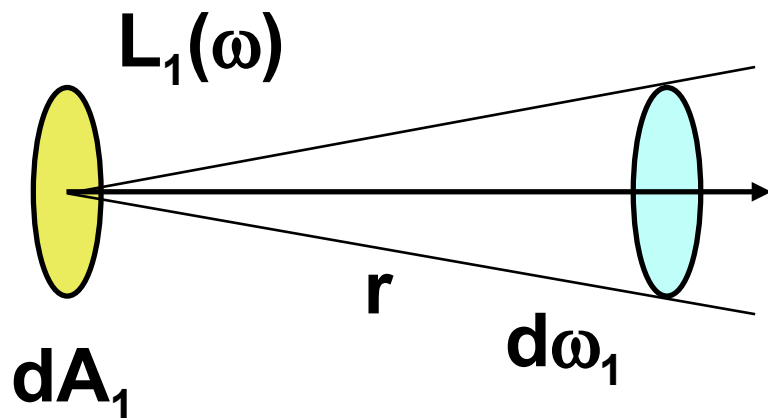
$$L_1 d\omega_1 dA_1 = L_2 d\omega_2 dA_2$$

emitovaný  
výkon

přijímaný  
výkon



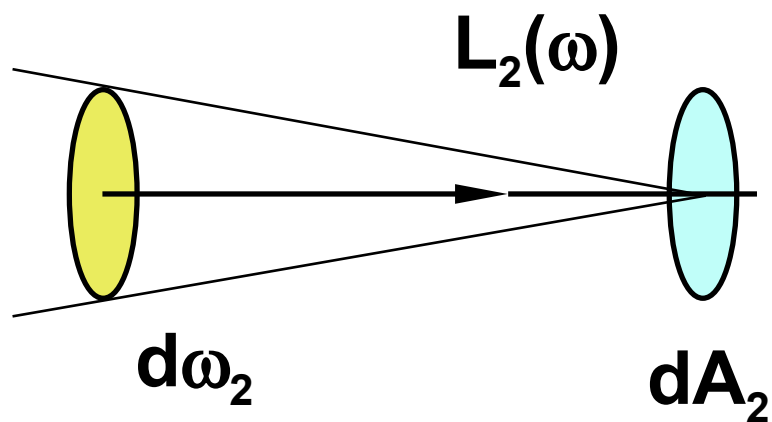
# Zákon zachování energie v paprsku



$$L_1 d\omega_1 dA_1 = L_2 d\omega_2 dA_2$$

$$\underline{T} = d\omega_1 dA_1 = d\omega_2 dA_2 = \\ = \frac{dA_1 dA_2}{r^2}$$

kapacita paprsku



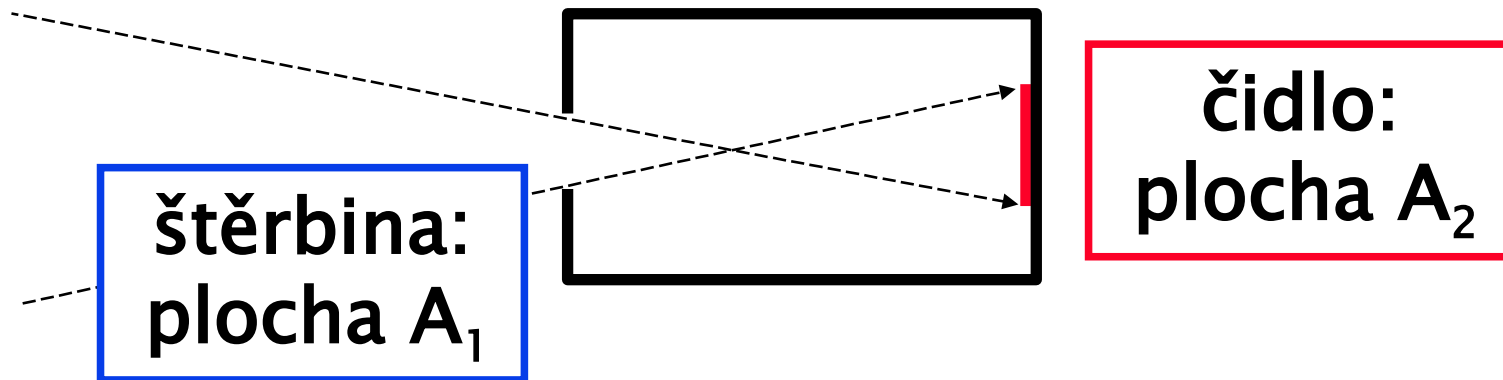
$$L_1 = L_2$$

paprsek ... radiance L



# Měření světla

- **naměřená veličina** je přímo úměrná **radianci** viditelné části scény

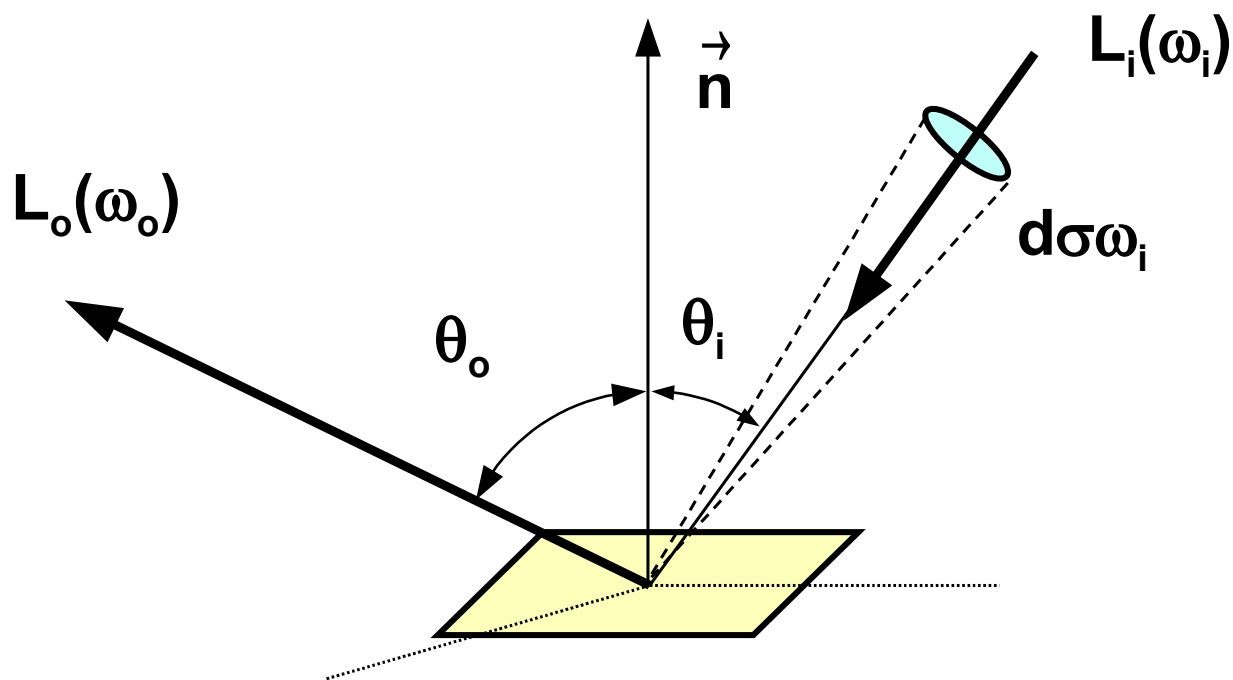


$$\underline{R} = \int_{A_2} \int_{\Omega} L_{in}(A, \omega) \cdot \cos \theta \, d\omega \, dA = \underline{L_{in}} \cdot T$$

# BSDF (lokální přenosová funkce)



(„Bidirectional Scattering Distribution Function“, postaru BRDF)



$$f_s(\omega_i \rightarrow \omega_o) = \frac{d L_o(\omega_o)}{d E(\omega_i)} = \frac{d L_o(\omega_o)}{L_i(\omega_i) \cos \theta_i d \sigma^\perp(\omega_i)}$$



# Helmholtzův reciproční zákon, ..

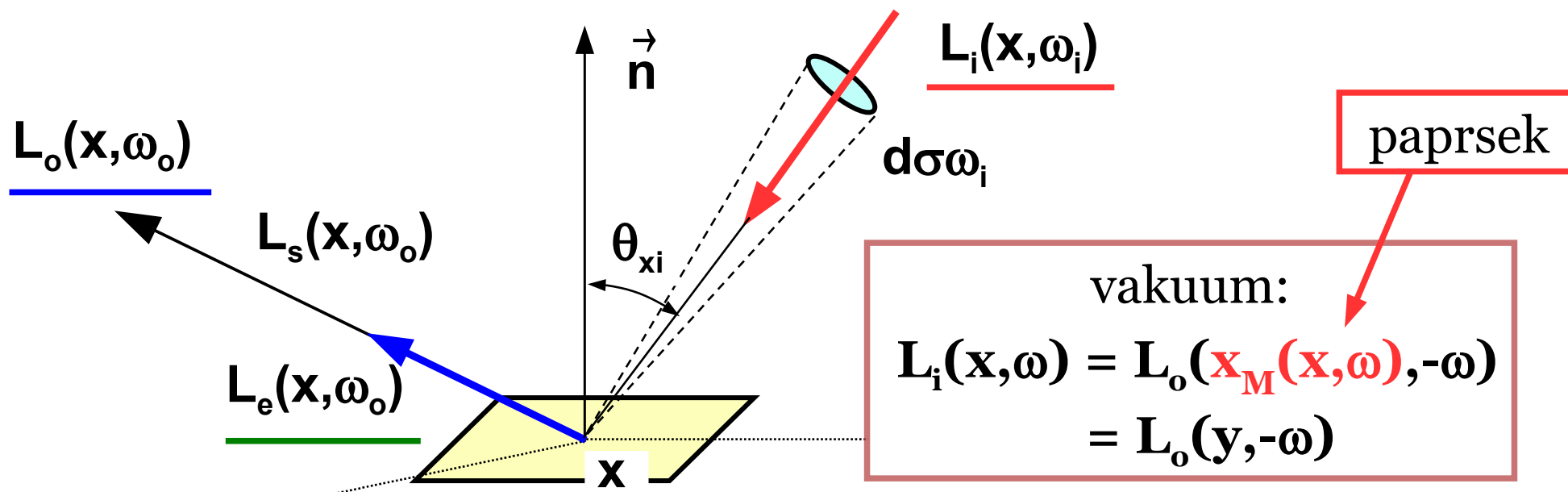
- pro **reálné** povrchy těles (vyhovující fyzikálním zákonům) platí:

$$\mathbf{f}(\omega_{\text{in}} \rightarrow \omega_{\text{out}}) = \mathbf{f}(\omega_{\text{out}} \rightarrow \omega_{\text{in}})$$

- obecná **BRDF** nemusí být **isotropní** (invariantní k otočení kolem normály)
  - kovové povrchy leštěné v jednom směru, ..

$$\mathbf{f}(\theta_{\text{in}}, \phi_{\text{in}}, \theta_{\text{out}}, \phi_{\text{out}}) \neq \mathbf{f}(\theta_{\text{in}}, \phi_{\text{in}} + \phi, \theta_{\text{out}}, \phi_{\text{out}} + \phi)$$

# Lokální zobrazovací rovnice



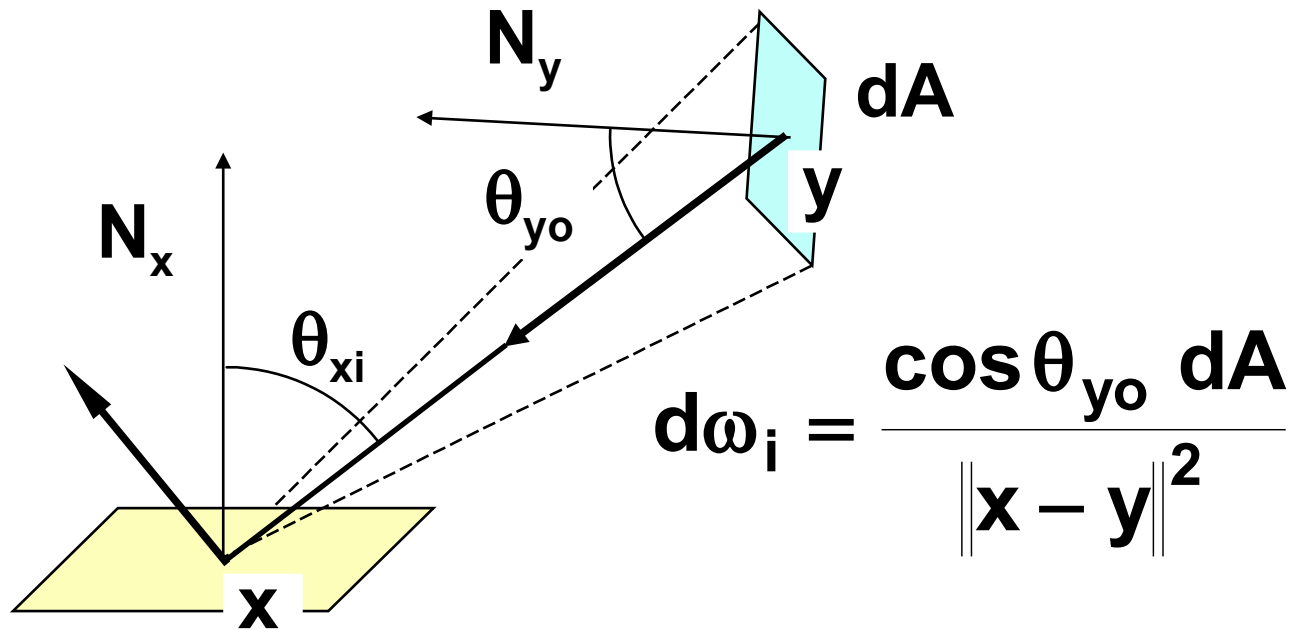
**vlastní vyzařování x**

$$\underline{L_o(x, \omega_o)} = \underline{L_e(x, \omega_o)} + \int \underline{L_o(y, -\omega_i)} \cdot f_s(x, \omega_i \rightarrow \omega_o) \cdot d\sigma_x^\perp(\omega_i)$$





# Radiance přijímaná z plochy



Geometrický člen: 
$$G(y, x) = \frac{\cos \theta_{y_o} \cos \theta_{x_i}}{\|x - y\|^2}$$

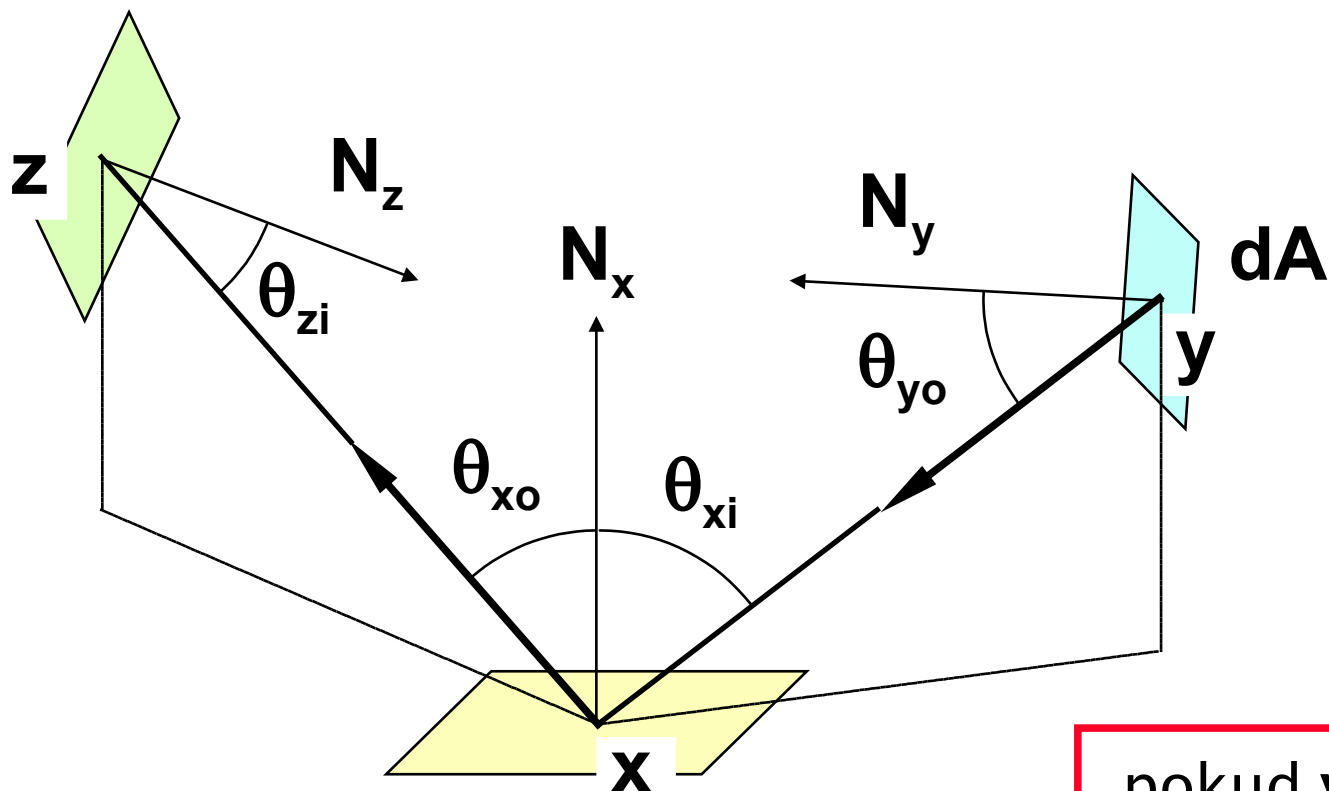


# Radiance přijímaná z plochy

$$\begin{aligned} L_o(\mathbf{x}, \omega_o) &= \text{integrál přes všechny dopadající směry} \\ &= L_e(\mathbf{x}, \omega_o) + \int_{\Omega} \mathbf{f}(\mathbf{x}, \omega_i \rightarrow \omega_o) \cdot L_i(\mathbf{x}, \omega_i) \cdot \cos \theta_{xi} \, d\omega_i = \\ &= L_e(\mathbf{x}, \omega_o) + \int_{\mathbf{S}} \mathbf{f}(\mathbf{x}, \omega_i \rightarrow \omega_o) \cdot L_o(\mathbf{y}, -\omega_i) \cdot \mathbf{G}(\mathbf{y}, \mathbf{x}) \, dA \\ & \quad \text{integrál přes vyzařující plošku} \end{aligned}$$

(za předpokladu, že z bodu  $\mathbf{x}$  je vidět celá plocha  $\mathbf{S}$ )

# Šíření světla odrazem



Označení:  $\underline{L(y, x)} = L_o(y, x - y) = L_i(x, y - x)$

$$\underline{f(y, x, z)} = f(x, (y - x) \rightarrow (z - x))$$

pokud y vidí x



# Rovnice pro nepřímou radianci

$$V(\mathbf{y}, \mathbf{x}) = \begin{cases} 1 & \text{pokud } \mathbf{y} \text{ vidí } \mathbf{x} \\ 0 & \text{jinak} \end{cases}$$

$$\underline{L(\mathbf{x}, \mathbf{z})} = \underline{L_e(\mathbf{x}, \mathbf{z})} + \int_S \underline{f(\mathbf{y}, \mathbf{x}, \mathbf{z})} \cdot \underline{L(\mathbf{y}, \mathbf{x})} \cdot \underline{G(\mathbf{y}, \mathbf{x})} \cdot \underline{V(\mathbf{y}, \mathbf{x})} \, dA$$

BRDF

vlastní (emitovaná)  
radiance

geometrické  
členy



# Rovnice pro radiositu

- předpokládáme **ideálně difusní** povrch:
  - **BRDF** není závislá na vstupním a výstupním úhlu
  - výstupní radiance  $\mathbf{L}(\mathbf{y}, \omega)$  nezávisí na směru  $\omega$

$$\mathbf{L}(\mathbf{x}, \mathbf{z}) = \mathbf{L}_e(\mathbf{x}, \mathbf{z}) + \mathbf{f}(\mathbf{x}) \cdot \int_S \mathbf{L}(\mathbf{y}, \mathbf{x}) \cdot \mathbf{G}(\mathbf{y}, \mathbf{x}) \cdot \mathbf{V}(\mathbf{y}, \mathbf{x}) \, dA$$

$$\mathbf{L}(\mathbf{x}, \mathbf{z}) = \mathbf{B}(\mathbf{x}) / \pi, \quad \mathbf{L}_e(\mathbf{x}, \mathbf{z}) = \mathbf{E}(\mathbf{x}) / \pi, \quad \mathbf{f}(\mathbf{x}) = \rho(\mathbf{x}) / \pi$$

$$\mathbf{B}(\mathbf{x}) = \mathbf{E}(\mathbf{x}) + \rho(\mathbf{x}) \cdot \int_S \mathbf{B}(\mathbf{y}) \cdot \frac{\mathbf{G}(\mathbf{y}, \mathbf{x}) \cdot \mathbf{V}(\mathbf{y}, \mathbf{x})}{\pi} \, dA$$



# Diskrétní řešení radiační rovnice

$$\mathbf{B}(\mathbf{x}) = \mathbf{E}(\mathbf{x}) + \rho(\mathbf{x}) \cdot \int_S \mathbf{B}(\mathbf{y}) \cdot \mathbf{g}(\mathbf{y}, \mathbf{x}) \, dA$$

$$\text{kde } \mathbf{g}(\mathbf{y}, \mathbf{x}) = \frac{\mathbf{G}(\mathbf{y}, \mathbf{x}) \cdot \mathbf{V}(\mathbf{y}, \mathbf{x})}{\pi}$$

- ♦ řešení  $\mathbf{B}$  je nekonečně-dimenzionální
- diskretizace problému:
  - **Monte-Carlo** ray-tracing (řešení závislé na pohledu)
  - klasické **radiační metody** (konečné/hraniční prvky)



# Obecná radiační metoda

- ① rozdělení ploch na konečný počet **elementů**
- ② určení polohy **uzlových bodů** na elementech
  - v těchto bodech se bude počítat hodnota **radiosity**
- ③ volba **aproximační metody** a chybové metriky
  - systém basických funkcí pro lineární (konvexní) kombinace hodnot v uzlových bodech
- ④ výpočet **koeficientů** soustavy lineárních rovnic
  - “konfigurační faktory” (“form-factors”)



# Obecná radiační metoda

- 5 řešení **soustavy lineárních rovnic**
  - výsledek: radiosita v uzlových bodech
- 6 rekonstrukce přibližného řešení na **celých plochách**
  - lineární kombinace bazických funkcí pomocí hodnot v uzlových bodech
- 7 **zobrazení** výsledku (libovolný směr pohledu)
  - intenzita osvětlení závisí na spočítané radiositě

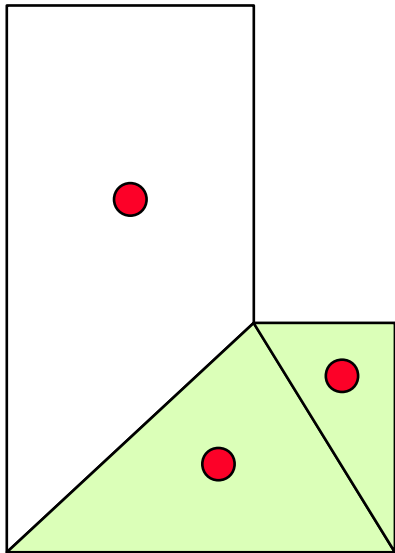




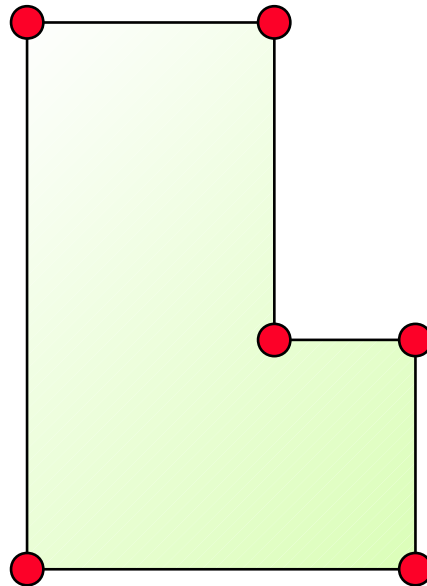
# Poznámky

- ♦ krok ③ se provádí ve fázi **návrhu algoritmu**
  - v implementaci se přímo neobjevuje
- ♦ některé **zdokonalené metody** nepostupují striktně posloupností kroků ① až ⑦
  - často se výpočet v některých fázích vrací a opakují se předcházející kroky (s lepší aproximací, lepším rozlišením, ..)

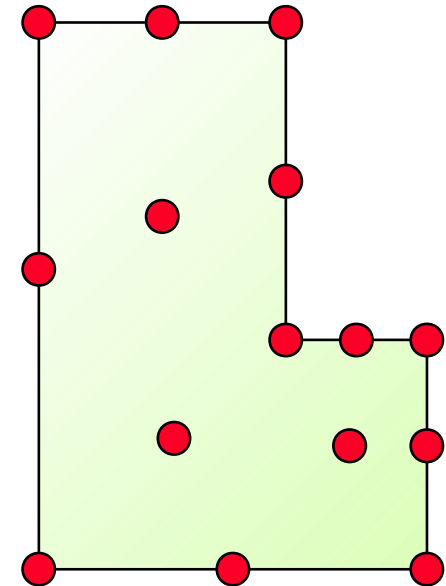
# Aproximace radiosity



**konstantní**  
(uzly jsou  
těžiště ploch)



**bilineární**  
(uzly jsou  
ve vrcholech)



**kvadratická**  
(další uzly jsou  
uprostřed hran  
a stěn)



# Metoda konstantních elementů

- na elementu  $A_i$  předpokládám konstantní odrazivost  $\rho$  a radiositu  $\mathbf{B}$  - průměr hodnot  $\mathbf{B}(\mathbf{x})$ :
  - značení:  $\rho_i, \mathbf{B}_i$  pro  $i = 1 \dots N$

$$\mathbf{B}(\mathbf{x}) = \mathbf{E}(\mathbf{x}) + \rho(\mathbf{x}) \cdot \int_S \mathbf{B}(\mathbf{y}) \cdot \mathbf{g}(\mathbf{y}, \mathbf{x}) \, dA$$

$$\mathbf{B}_i = \mathbf{E}_i + \rho_i \cdot \frac{1}{A_i} \int_{A_i} \left[ \sum_{j=1}^N \mathbf{B}_j \int_{A_j} \mathbf{g}(\mathbf{y}, \mathbf{x}) \, dA_j \right] dA_i$$

průměr přes  
plochu  $A_i$

radiosita přijímaná v bodě  $\mathbf{x}$  (ležícím na  $A_i$ )



# Základní rovnice pro radiositu

přehození sumy a integrálu:

$$B_i = E_i + \rho_i \cdot \sum_{j=1}^N B_j \cdot \frac{1}{A_i} \int_{A_i} \int_{A_j} g(y, x) dA_j dA_i$$

geometrický člen – konfigurační faktor  $F_{ij}$   
(část energie vyzářené ploškou  $A_i$  dopadající na  $A_j$ )

$$B_i = E_i + \rho_i \cdot \sum_{j=1}^N B_j F_{ij} \quad \left[ \frac{W}{m^2} \right]$$



# Fyzikálně intuitivní odvození

$$B_i A_i = E_i A_i + \rho_i \cdot \sum_{j=1}^N B_j A_j F_{ji} \quad [w]$$

emitovaný výkon = vlastní výkon + odražený výkon

reciproční pravidlo:

$$A_j F_{ji} = A_i F_{ij}$$

$$B_i A_i = E_i A_i + \rho_i \cdot \sum_{j=1}^N B_j F_{ij} A_i \quad \Big| \cdot A_i^{-1}$$

$$B_i = E_i + \rho_i \cdot \sum_{j=1}^N B_j F_{ij} \quad \left[ \frac{w}{m^2} \right]$$



# Soustava lineárních rovnic

$$\underline{B_i} - \rho_i \cdot \sum_{j=1}^N \underline{B_j} F_{ij} = E_i \quad i = 1..N$$

$$\begin{bmatrix} 1 - \rho_1 F_{1,1} & -\rho_1 F_{1,2} & \dots & -\rho_1 F_{1,N} \\ -\rho_2 F_{2,1} & 1 - \rho_2 F_{2,2} & \dots & -\rho_2 F_{2,N} \\ \dots & \dots & \dots & \dots \\ -\rho_N F_{N,1} & -\rho_N F_{N,2} & \dots & 1 - \rho_N F_{N,N} \end{bmatrix} \begin{bmatrix} \underline{B_1} \\ \underline{B_2} \\ \dots \\ \underline{B_N} \end{bmatrix} = \begin{bmatrix} E_1 \\ E_2 \\ \dots \\ E_N \end{bmatrix}$$

vektor neznámých  $[B_i]$



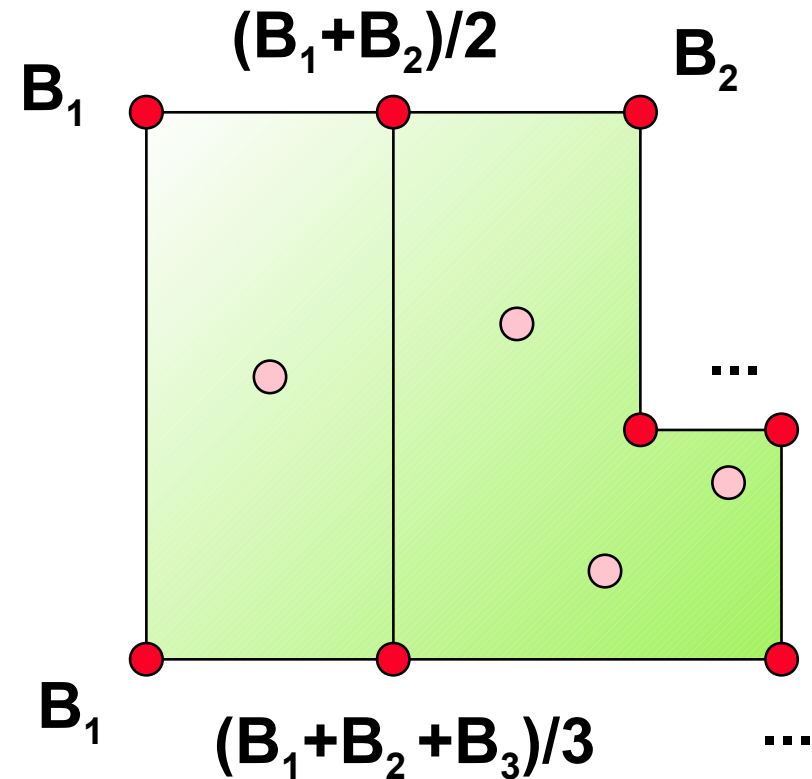
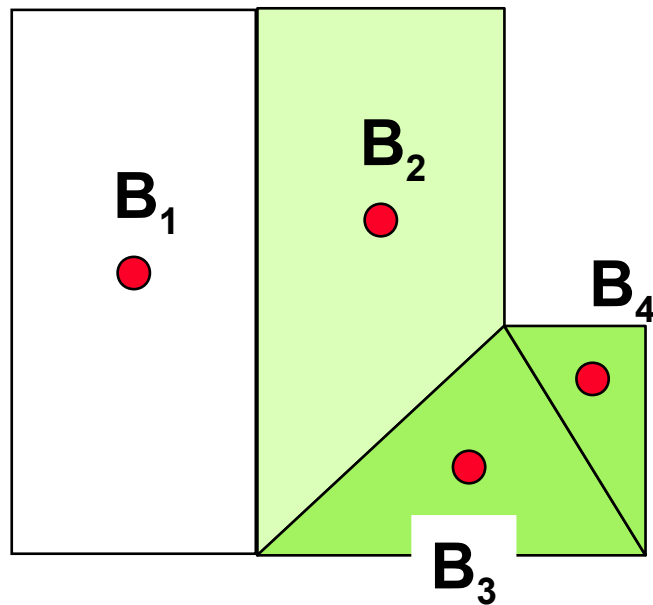
# Soustava lineárních rovnic

- pro **rovinné plošky** platí:  $F_{ii} = 0$ 
  - na diagonále jsou pouze jedničky
- **nediagonální prvky** matice mají typicky malou absolutní hodnotu
  - matice je “diagonálně dominantní”
  - ⇒ soustava je stabilní a lze ji úspěšně řešit **iteračními metodami** (Jacobi, Gauss-Seidel)
- při **změně osvětlení**  $[E_i]$  se nemusí soustava počítat znovu (používáme-li přímou metodu)



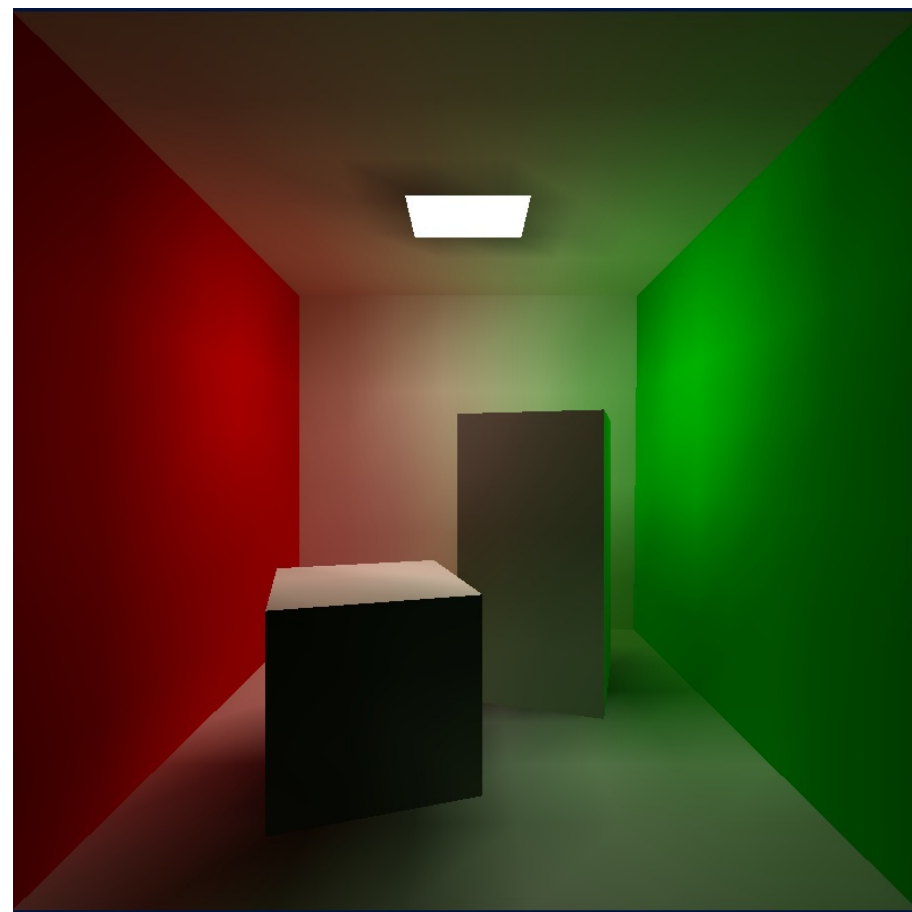
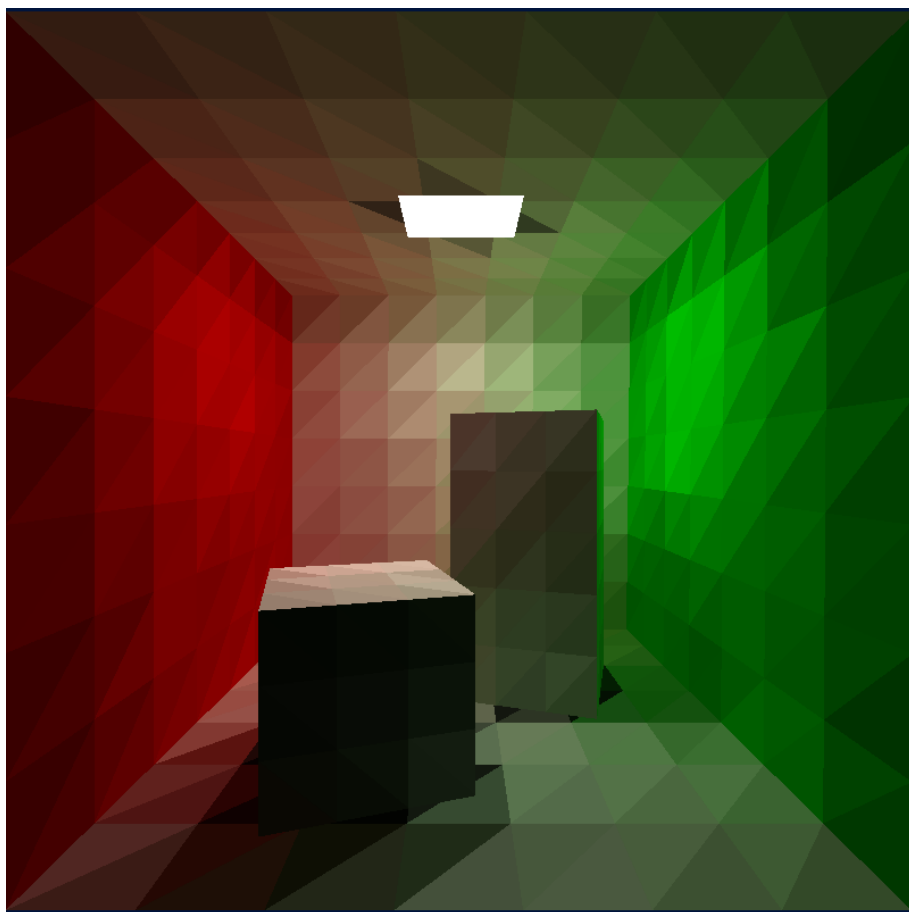
# Přenos radiosity do vrcholů

I v metodě konstantních elementů je při zobrazování žádoucí použít alespoň **Gouraudovu interpolaci barvy**





# Ukázka lineární interpolace



# Konec



- **C. M. Goral, K. E. Torrance, D. P. Greenberg, B. Battaile:** *Modeling the Interaction of Light Between Diffuse Surfaces*, CG vol 18(3), SIGGRAPH 1984
- **A. Glassner:** *Principles of Digital Image Synthesis*, Morgan Kaufmann, 1995, 871-937
- **M. Cohen, J. Wallace:** *Radiosity and Realistic Image Synthesis*, Academic Press, 1993, 13-64
- **J. Foley, A. van Dam, S. Feiner, J. Hughes:** *Computer Graphics, Principles and Practice*, 793-804